Vol. 3 No. 2

1995

## 软钾镁矾溶解动力学 1: MgCl<sub>2</sub> 对其溶解转化影响的研究

### 宋粤华 夏树屏

(中国科学院青海盐湖研究所, 西宁 810008)

摘 要 研究了不同浓度 MgCl₂(1.998、3.867、5.735%)溶液,在不同温度(25、55℃)下,对软 钾镁矾在 K+,Mg2+/SO2-,Cl--H2O 四元体系中溶解转化过程的影响,采用龙格-库塔微分数值 法拟合其溶解过程和结晶过程动力学方程. 结果表明在一定浓度 MgCl2 溶液中软钾镁矾是不相称 溶解,K2SO4 先于 MgSO4 溶解进入溶液中,MgCl2 溶液浓度越大,温度越高,溶解速度越快,K2SO4 结晶速度也越快·溶解受扩散和表面反应控制,K<sub>2</sub>SO4 结晶受扩散控制.

软钾镁矾 硫酸钾 氯化镁 转化 动力学 关键词

#### 1 前音

青藏高原的诸多盐湖中存在大量的钾、钠、镁复盐,随着社会经济的发展,人们需要从复盐 中制取各种有用的盐.如 KCl 和 K<sub>2</sub>SO<sub>4</sub> 这两种钾肥可以由盐湖中所含的钾镁复盐光卤石(KCl • MgCl<sub>2</sub> • 6H<sub>2</sub>O)和软钾镁矾(K<sub>2</sub>SO<sub>4</sub> • MgSO<sub>4</sub> • 6H<sub>2</sub>O)在水中溶解制备,因此,有必要对复盐 的溶解过程进行系统的研究.

洪显兰等[ $\Box$ 通过对钾光卤石(KCl·MgCl<sub>2</sub>·6H<sub>2</sub>O)的溶解过程的研究,建立其溶解速度 方程,可较为合理地得出其溶解转化机理.

在"软钾镁矾溶解动力学 I"中[2],我们已对 K+,Mg2+/SO2-H2O 三元体系中软钾镁矾 的溶解转化机理及其动力学进行了研究,其中分别研究了不同晶体粒度、不同温度(15、25、40、 . 50、60、75℃)、不同搅拌速度及含不同浓度 MgSO₄ 和 K₂SO₄ 的分解液对软钾镁矾溶解转化过 程的影响,采用龙格一库塔微分数值法拟合,求解其溶解过程和结晶过程动力学方程.结果表 明软钾镁矾是不相称溶解,MgSO, 先于 K2SO, 溶解进入溶液中,粒度越小、温度越高,溶解速 度越快;温度越高,结晶速度也越快.溶解受扩散和表面反应控制,K2SO4结晶分别受两种不同 形式的扩散控制,但在实际生产工艺过程中,得到的软钾镁矾并非很纯,含有氯化物等杂质,在 有 MgCl<sub>2</sub> 存在下,水溶液为 K<sup>+</sup>,Mg<sup>2+</sup>/SO<sub>4</sub><sup>2-</sup>,Cl<sup>-</sup>-H<sub>2</sub>O 四元体系. 我们控制软钾镁矾溶解转 化过程在 K<sub>2</sub>SO<sub>4</sub> · M<sub>2</sub>SO<sub>4</sub> · 6H<sub>2</sub>O 和 K<sub>2</sub>SO<sub>4</sub> 共饱结晶范围,进行在不同浓度 M<sub>2</sub>Cl<sub>2</sub>溶液中、不 同温度下软钾镁矾的溶解和转化结晶机制研究,以建立溶解和结晶动力学方程,为利用该复盐 加工制取硫酸钾提供必要的更接近实际的基础数据,

#### 2 实验部分

#### 2.1 实验方法

为了控制软钾镁矾的溶解转化过程在 K,SO,和 K,SO,·MgSO,·6H,O 的共饱结晶范围 内进行,配制浓度为 1.998%、3.867%和 5.735%的 MgCl。溶液. 据 K+,Mg²+/SO²-,Cl--

 $H_2O$  四元体系相图<sup>[3]</sup>,在恒温(25、55℃)下将定量 Pic. 试样和不同浓度  $MgCl_2$  分解液置于带有液封搅拌器的多口反应瓶中进行溶解转化,搅拌速度300r/min,搅拌桨直径为20mm,并记时和取样,液相用化学分析方法确定其组成,至溶解转化达平衡时停止反应,固液分离后固相经1:1乙醇丙酮溶液洗涤,采用物理分析方法鉴定其固相产物.

#### 2.2 分析测试方法

红外光谱用 PE-683 红外光谱仪,KBr 压片,X-ray 粉末衍射用日本理学MAX-3B,Cu 靶,Ni 滤波,显微照相, $XS-D_2$ 倒置生物显微镜(100X-640X).

#### 3 实验结果

#### 3.1 合成纯软钾镁矾与工业软钾镁矾溶解转化过程的比较

用合成纯软钾镁矾和含有其它杂质离子的工业软钾镁矾(化学分析见表 1),进行 75℃溶解转化实验. 结果(表 2)表明,含有 NaCl 和  $MgCl_2 \cdot xH_2O$  的工业软钾镁矾的溶解转化过程与纯软钾镁矾是有差异的,这说明杂质离子的存在对软钾镁矾的溶解转化有一定的影响,工业样  $K_2SO_4$  析出速度快于纯样是由于杂质有盐效应所致.  $MgCl_2$  存在时溶液属四元体系,有必要对软钾镁矾在  $K^+$ , $Mg^{2+}/SO_4^{2-}$ , $Cl^--H_2O$  四元体系中的溶解转化过程进行研究,并探明该体系中软钾镁矾的溶解及转化结晶机理.

#### 3.2 MgCl<sub>2</sub>溶液浓度对软钾镁矾溶解转化的影响

在温度为 25 °C 和 55 °C 时分别将 80g 和 120g 软钾镁矾加入 150ml 上述三种浓度的  $MgCl_2$  溶液中进行溶解转化反应,并由所得结果作出各温度和各浓度下  $Mg^{2+}$  及  $K^+$  的 C-t 曲线 (图 1,2). 图中C-t 曲线表明:在相同温度下,不同浓度  $MgCl_2$  溶液中软钾镁矾的溶解转化过程中  $Mg^{2+}$  的C-t 曲线形状相似,在整个过程中都是升高过程,即  $MgSO_4$  只有溶解过程,并且由于同离子效应, $MgCl_2$  溶液浓度愈大, $MgSO_4$  溶解速度越慢,溶解达平衡时与初始时  $Mg^{2+}$  的浓度差愈小,在 55 °C 时盐效应表现得更为明显. 而在相同温度下,不同浓度  $MgCl_2$  溶液中软钾镁矾的溶解转化过程中  $K^+$  的C-t 曲线形状差异较大. 虽然  $K^+$  浓度首先升高,到一定浓度后再降低,但浓度越大, $K_2SO_4$  的溶解速度越慢, $K^+$  所达到的过饱和度越小,结晶速度越慢,结晶也越不明显.

与软钾镁矾在纯水中的溶解转化过程(详见文献[2])相比,在一定浓度的  $MgCl_2$  溶液中软钾镁矾溶解转化机理与之有一个共同点:在整个软钾镁矾的溶解转化过程中, $MgSO_4$  只有溶解过程;而  $K_2SO_4$  分两个阶段进行.第一阶段是以溶解为主导的过程;第二阶段是以结晶为主导的过程,并且同样是从溶液中经过过饱和后才结晶出来.但在一定浓度  $MgCl_2$  溶液中软钾镁矾的溶解转化过程与在水中相比也有明显的不同,尽管在二者中  $K_2SO_4$  •  $MgSO_4$  •  $6H_2O$  的溶解同样是不同步溶解,但在一定浓度的  $MgCl_2$  溶液中由于同离子效应,在起始溶解阶段并不是首先出现 $\triangle[Mg^{2+}]>\triangle[K^+]$ ,而是首先出现 $\triangle[K^+]>\triangle[Mg^{2+}]$ ;随着溶解的继续进行, $K_2SO_4$  浓度接近饱和,出现 $\triangle[K^+]<\triangle[Mg^{2+}]$ ,直至  $K_2SO_4$  达到过饱和从溶液中结晶出来.随着  $K_2SO_4$  的结晶析出,溶液中  $K_2SO_4$  的过饱和度减小,溶解又加快,交替出现了  $K_2SO_4$  的溶解大于结晶的过程和  $K_2SO_4$  的结晶大于溶解的过程,这种现象随  $MgCl_2$  溶液浓度增大而愈加明显.这与工业软钾镁矾的溶解转化过程相类似.

表 1 工业软钾镁矾化学分析(質量%)

组分	$K_2SO_4 \cdot MgSO_4 \cdot 6H_2O$	$MgCL_2$	NaCl	不溶物
含量	96. 93	0. 991	1.630	0.412

表 2 纯软钾镁矾与工业软钾镁矾溶解转化结果对比

样品 (mm)	时间 (min)	离子含量(重量%)			化合物含量(重量%)		摩尔比
		Mg <sup>2+</sup>	K <sup>+</sup>	SO <sub>4</sub> -	K₂SO₄	MgSO <sub>4</sub>	MgSO₁ : K₂SO₁
	2	1.585	4. 428	11. 44	9-87	7.85	1.15:1
合	15	2.554	7.466	19.38	16.64	12.65	1.10:1
成	30	2.685	9.090	20.57	20. 26	13.30	0.95:1
纯	40	2.745	7.896	20.50	17.60	13.59	1.12:1
软	70	2.825	7.709	20.44	17.18	13.99	1.18:1
钾	120	2.893	7. 582	20.77	16.90	14.33	1.23:1
镁	180	2.910	7.413	20.87	16.52	14.42	1.26:1
矾	300	2.915	7. 192	20.52	16.03	14.44	1.30:1
	1440	2.919	7.052	20.10	15.72	14.46	1.33:1
	2	1.524	5. 162	11. 28	11.50	7.55	0.95:1
	15	2.411	6.872	17.35	15.31	11.94	1.13:1
工	30	2.676	7.306	18.64	16.28	13.26	1.18:1
业	40	2.727	7. 131	18.90	15.89	13.51	1.23:1
软	70	2.774	7.306	19.06	16.28	13.73	1.22:1
钾	100	2.839	7. 320	19.56	16.31	14.06	1.25:1
镁	130	2.898	7. 278	19.59	16.22	14.34	1.28:1
矾	180	2.942	7.292	19.70	16.25	14.57	1.30:1
	300	3.041	7. 155	19.83	15.94	15.06	1.37:1
	1440	3. 213	6-817	20.96	15.19	15.92	1.51:1

#### 3.3. 温度对软钾镁矾溶解转化的影响

从相图分析(图 3), $m_1(m'_1)$ , $m_2(m'_2)$ 和  $m_3(m'_3)$ 为 25℃下  $MgCl_2$  溶液浓度分别为 1.998、3.867 和 5.735%时的起始复体点,对应的实验测得的平衡液相点分别为  $l_1$ 、 $l_2$  和  $l_3$ .而  $M_1(M'_1)$ , $M_2(M'_2)$ 和  $M_3(M'_3)$ 为 55℃下、 $MgCl_2$  溶液浓度分别为 1.998、3.867 和 5.735%时的起始复体点,对应的平衡液相点分别为  $L_1$ 、 $L_2$  和  $L_3$ . 平衡液相点皆落在  $K_2SO_4$  与  $K_2SO_4$  •  $MgSO_4$  •  $6H_2O$  的共饱线上. 由直线法则得到相应的析出固相点  $s_1$ 、 $s_2$  和  $s_3$  (25℃)及  $S_1$ 、 $S_2$  和  $S_3$  (55℃),从固相点所处的位置看,与实验测得的  $K^+$ 变化量即  $K_2SO_4$  的结晶量也是相符的.

在  $MgCl_2$  溶液浓度相同条件下,温度不同其溶解转化机理相似,都是  $MgSO_4$  只有溶解过程,而  $K_2SO_4$  先溶解达到一定的过饱和度后再结晶析出. 但随着温度的升高,软钾镁矾的溶解速度加快,并且  $K^+$ 的浓度从升高到出现降低所需时间缩短. 温度越高, $K_2SO_4$  所达到的过饱和度越大,结晶越明显,结晶速度也越快.

平衡固相 X-ray 衍射(图 4)和显微照相鉴定是软钾镁矾和 K₂SO₁混合物.

#### 4 数据处理

#### 4.1 拟合非线型方程并绘图

将实验测得数据用 Basic 编写程序,进行非线型方程  $Y = A_0 + A_1 X + A_2 X^2 + A_3 X^3$  (X 为时间 t, Y 为相应离子浓度) 拟合,求得各温度下的方程式及一定时间 t 相对应的  $[Mg^{2+}]$  和  $[K^+]$ . 以时间 t 为 X 轴,以 $[Mg^{2+}]$ 或 $[K^+]$ 为 Y 轴,用 HG 程序作图得  $Mg^{2+}$ 和  $K^+$ 的C-t曲线.

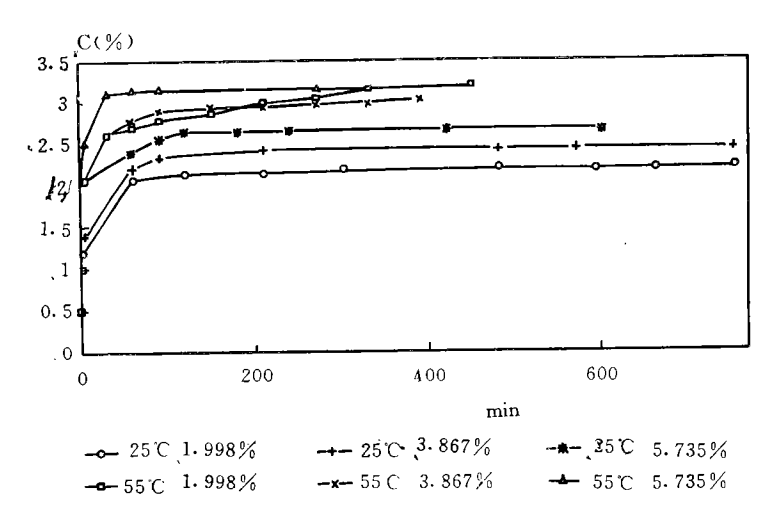


图 1 溶解转化过程中 Mg2+的 C-t 曲线

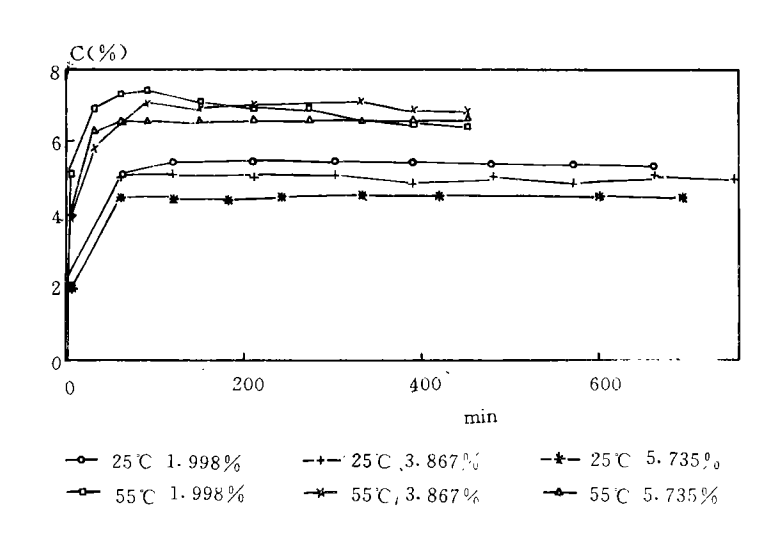


图 2 溶解转化过程中 K²+的 C-t 曲线

#### 4.2 动力学方程求解

设软钾镁矾的溶解速度受表面反应或扩散控制,并且符合 Stumm 方程dC/dt =  $K(C_s-C)^n$ . 由于  $Mg^{2+}$ 的浓度变化反映了软钾镁矾溶解的全过程,故以  $Mg^{2+}$ 的浓度拟合软钾镁矾溶解动力学方程较合适. 在  $K_2SO_4$  结晶阶段软钾镁矾的溶解仍在继续,用  $K^+$ 的浓度变化来建立  $K_2SO_4$  的结晶动力学方程.

动力学方程采用下山单纯形优化参数法,龙格一库塔微分方程组数值法求微分方程,用 48 Fortran-77语言编写程序,对实验数据进行参数拟合,并在dual-68000上运行,目标函数 f (小于或等于 10<sup>-7</sup>)是离子浓度的实验值与计算值之差的平方和,相对误差用 d%表示.

软钾镁矾溶解动力学方程如下:

1.998% MgCl₂溶液中 25℃

 $dC/dt = 0.4651(0.957 - C)^{2.11}$ 

55°C

 $dC/dt = 0.08298(1.36-C)^{2.60}$ 

3.867% MgCl₂溶液中 25℃

 $dC/dt = 0.01098(0.999 - C)^{1.69}$ 

55℃

 $dC/dt = 0.2588(1.33-C)^{2.79}$ 

5.735% MgCl<sub>2</sub>溶液中 25℃

 $dC/dt = 0.2328(1.09-C)^{1.47}$ 

55°C

 $dC/dt = 4.924(1.32-C)^{2.99}$ 

发现不同浓度 MgCl<sub>2</sub> 溶液中,软钾镁矾溶解动力学方程的反应级数基本上是随温度升高而增大,总的反应历程符合 Stumm 方程,受扩散和表面反应所控制,其计算值与实验值相吻合.

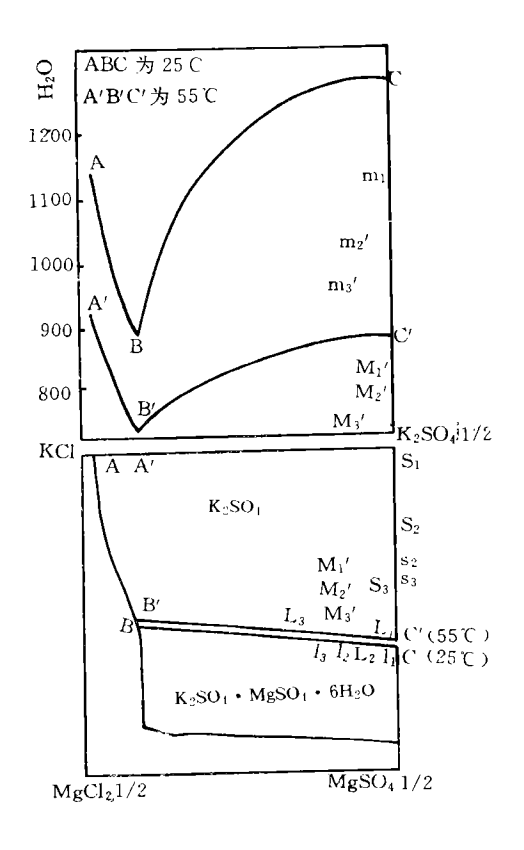


图 3 软钾镁矾溶解转化的相图

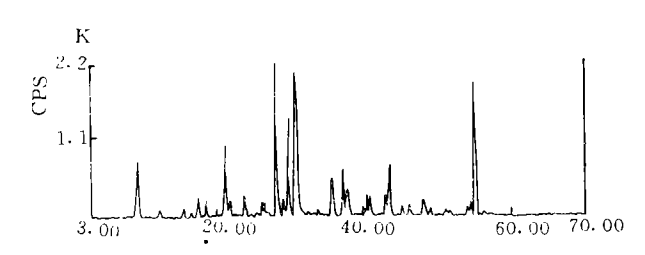


图 4 平衡固相 X-ray 衍射图

由溶解动力学方程看,软钾镁矾在 MgCl₂ 存在下溶解反应级数 n 由1→3,其反应过程是复杂的.

K₂SO₄结晶段动力学方程如下:

1.998%  $MgCl_2$  溶液中 25℃  $-dC/dt=0.6358(1.39-C)^{2/3}(C-1.446)$ 

 $55^{\circ}$ C -dC/dt = 0.000591(1.89-C)(C+16.44)

3.867% MgCl₂溶液中 55℃ -dC/dt=0.0199(1.83-C)(C-1.566)

由以上结晶动力学方程可看出, $K_2SO_4$  的结晶主要是受扩散控制的. 其计算值也与实验值相吻合.

#### 5 结果和讨论

5.1 纯软钾镁矾和含有一定 MgCl<sub>2</sub> 等杂质的工业软钾镁矾在水中的溶解转化过程是有差异

49

的,含有杂质软钾镁矾的溶解转化过程中 K<sub>2</sub>SO<sub>4</sub> 结晶析出时间延长.

- 5.2 采用合成软钾镁矾晶体进行了其在 1.998%、3.867%和 5.735%的 MgCl<sub>2</sub> 溶液中的溶解转化实验研究·由动力学测定数据表明,软钾镁矾在一定浓度的 MgCl<sub>2</sub> 溶液中,其溶解转化机理仍是不同步溶解,溶解初始阶段 $\triangle[K^+]>\triangle[Mg^{2+}]$ ,由于同离子效应, $K_2SO_4$  先于MgSO<sub>2</sub> 进入溶液,而后是 $\triangle[K^+]<\triangle[Mg^{2+}]$ ,至  $K^+$ 的C—t溶解曲线达到过饱和后, $K_2SO_4$  才开始结晶,并且随着  $K_2SO_4$  的结晶析出,交替出现了  $K_2SO_4$  的溶解为主导和结晶为主导的过程.利用龙格一库塔法方程和单纯形法,拟合了软钾镁矾在不同浓度 MgCl<sub>2</sub> 溶液中、不同温度下溶解转化的动力学方程. 软钾镁矾的溶解反应历程符合 Stumm 方程. 证实了软钾镁矾的溶解是受控于扩散和表面反应,该方程受温度影响甚大.  $K_2SO_4$  的结晶反应历程符合方程一dC/dt= $K(C_0-C)^{2/3}(C-C_\infty)$ 和一dC/dt= $K(C_0-C)(C-C_\infty)$ . 说明  $K_2SO_4$  的结晶是受扩散影响的.
- 5.3 软钾镁矾在一定浓度的  $MgCl_2$  溶液中的溶解转化历程与工业软钾镁矾有相似之处.  $MgCl_2$  溶液浓度越大,软钾镁矾溶解转化过程中  $MgSO_4$  溶解速度越慢,溶解量越小.并且  $K^+$  所达到的过饱和度也越小, $K_2SO_4$  结晶速度越慢,结晶也越不明显. 在  $MgCl_2$  溶液浓度相同条件下,温度不同,软钾镁矾溶解转化机理相似. 但随着温度升高,溶解速度加快, $K_2SO_4$  达到过饱和所需时间缩短,且达到的过饱和度增大,结晶越快,结晶也越明显.

#### 参 考 文 献

- [1] 洪显兰,夏树屏,高世扬.应用化学.1994,11:26-31.
- [2] 宋粤华,曾忠民,夏树屏. 软钾镁矾溶解动力学 I:对 K<sub>2</sub>SO<sub>4</sub>-M<sub>g</sub>SO<sub>4</sub>-H<sub>2</sub>O 三元体系的研究. 中国科学院盐湖研究所工作报告(待发表).
- 「3〕 陶坤译. ≪苏联化学手册(Ⅱ)≫. 科学出版社,1963,132-134.
- [4] Stumm. <水化学>. 232-233.

# Study on the Dissolution Kinetics of Schoenite. Part $\mathbb{I}$ the effects of MgCl<sub>2</sub> on the dissolution-transformation of schoenite

Song Yuehua Xia Shuping
(Qinghai Institute of Salt Lakes, Academia Sinica. Xining 810008)

#### ABSTRACT

In this paper, the effects of the concentrations of  $MgCl_2$  (1.998, 3.876, 5.735%) solutions and temperature (25, 55°C) on the dissolution-transformation processes of schoenite in K<sup>+</sup>,  $Mg^{2+}/SO_4^{2-}$ ,  $Cl^--H_2O$  quadro-components system have been studie. The parameters of kinetic equations of the dissolution processes of  $K_2SO_4$  •  $MgSO_4$  •  $6H_2O$  and the crystallization processes parameters of  $K_2SO_4$  have been calculated. The dissolution-transformation mechanism of picromerite has also been suggested.

**Keywords** Picromerite. Potassium sulfate. Magnesium chloride. Transformation kinetic

50